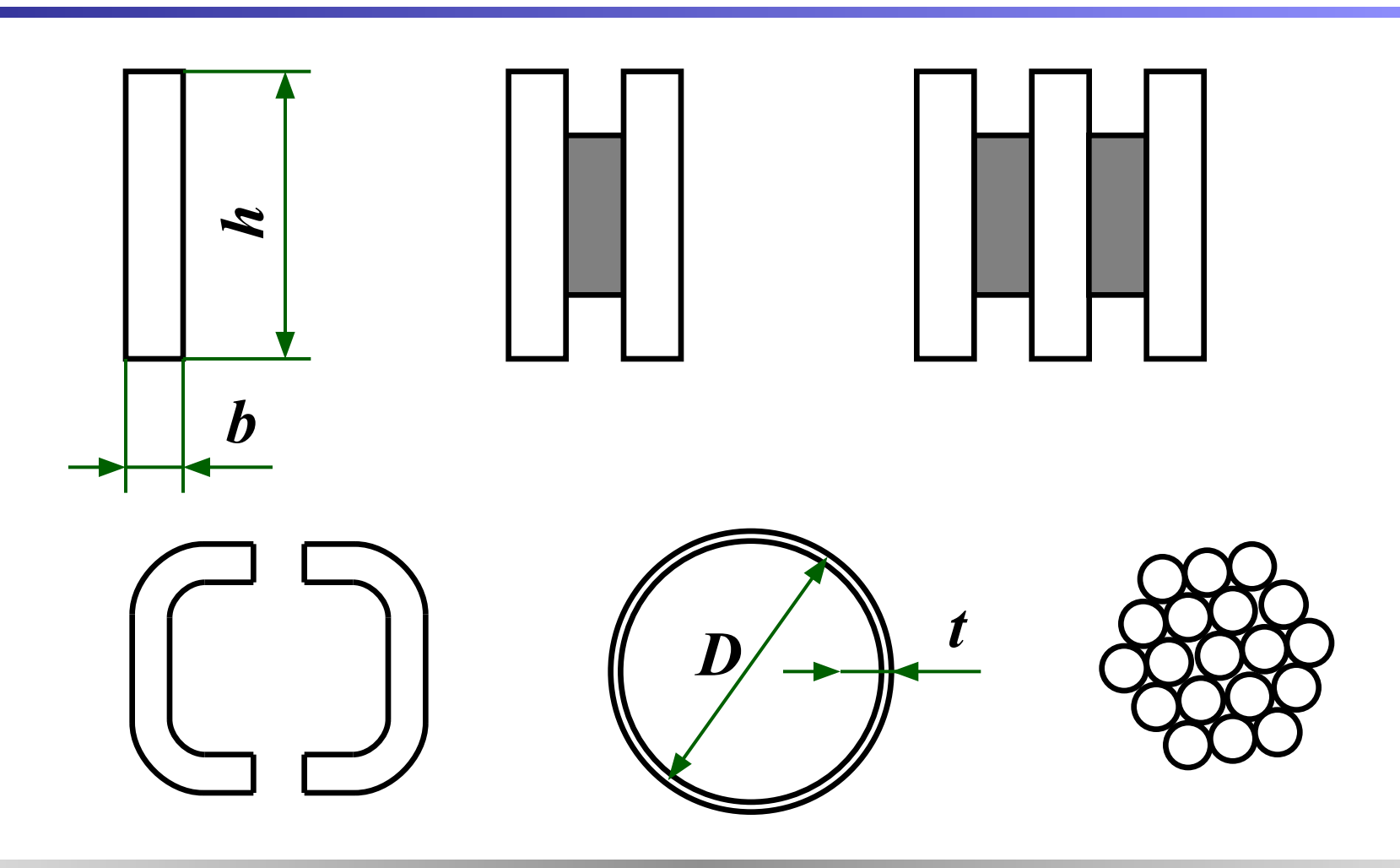
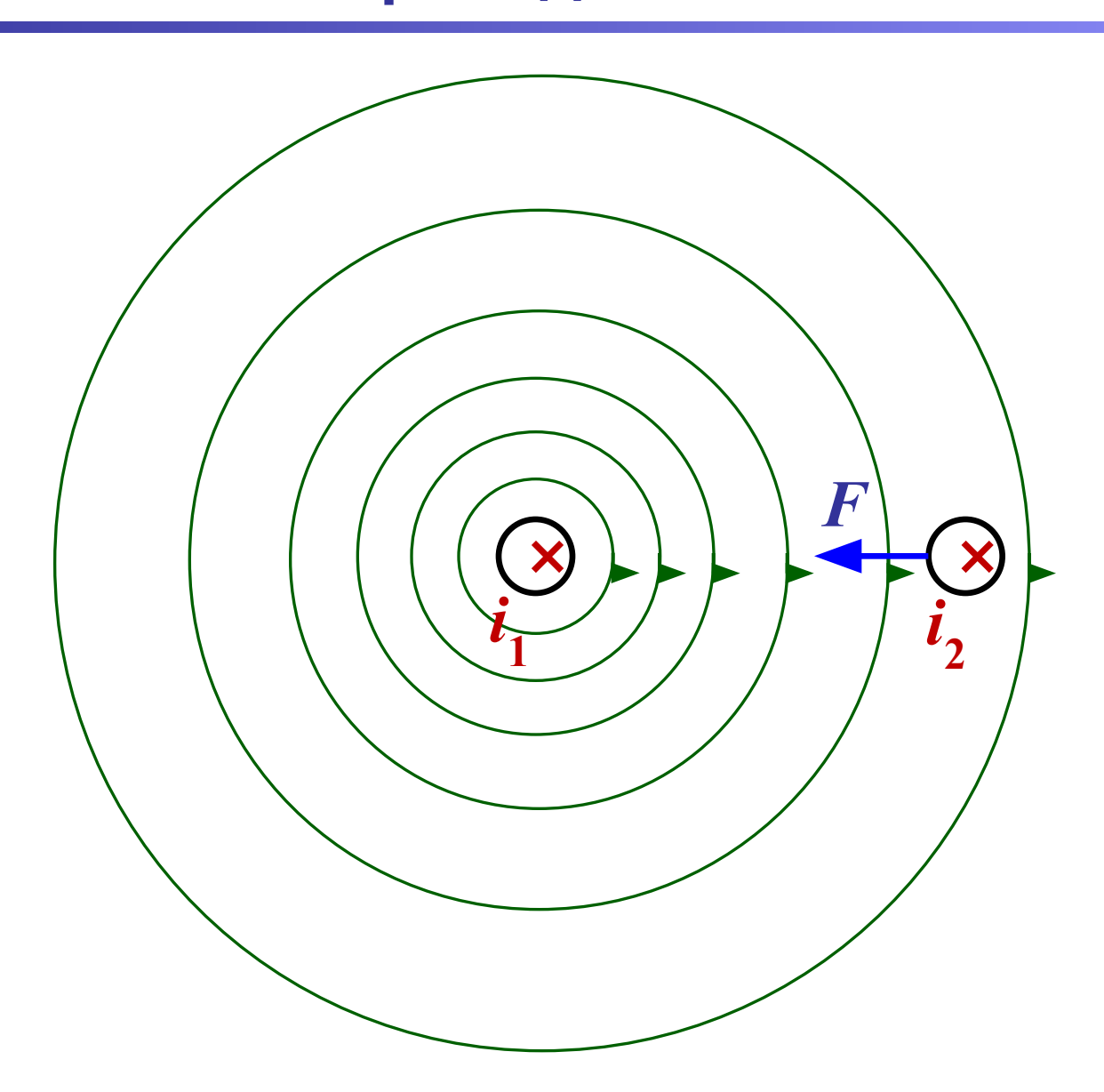


# 7.1 Конструкции проводников и токопроводов

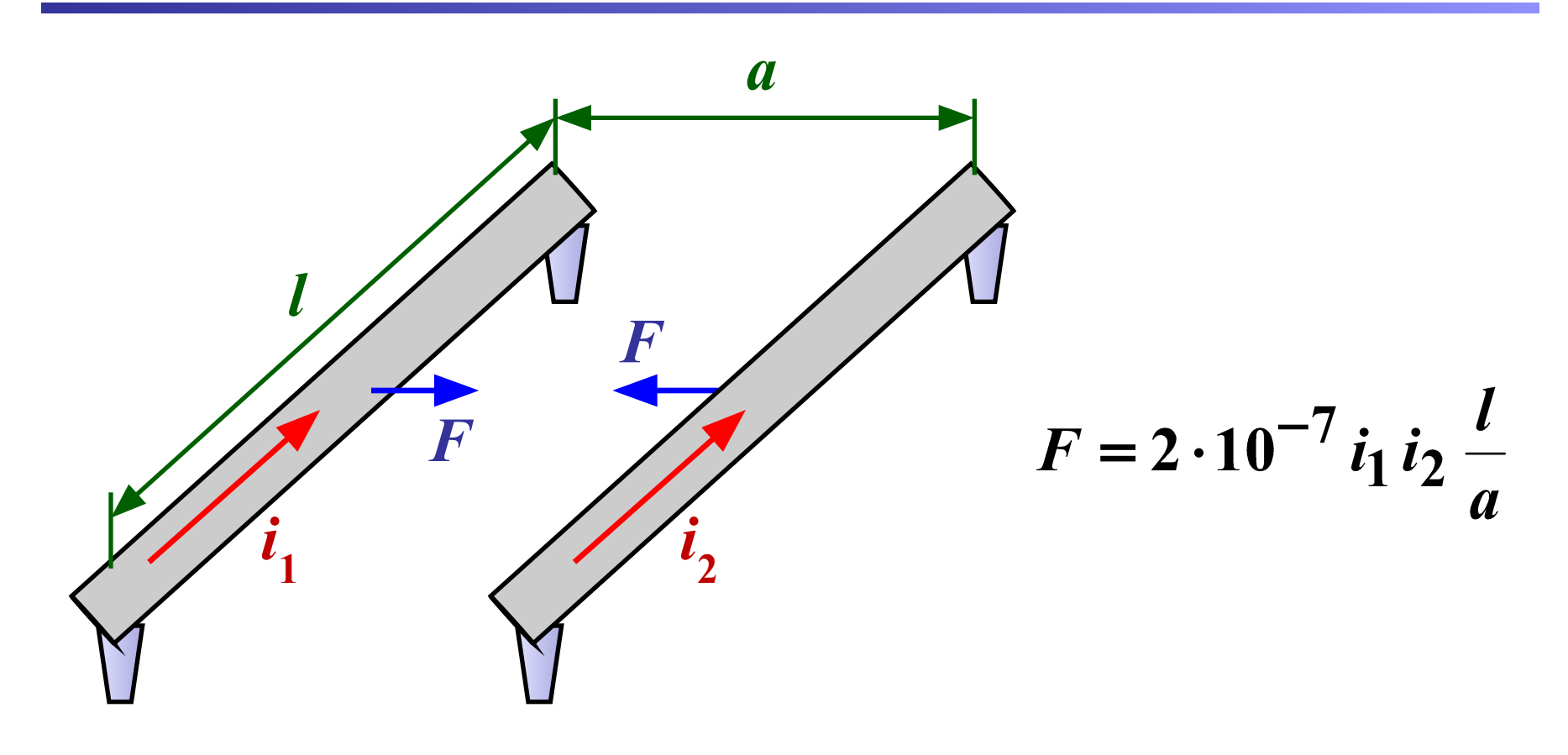


Для медных шин  $t \le 14$  мм Для алюминиевых шин  $t \le 20$  мм

## 7.2 Электродинамическое действие токов на проводники



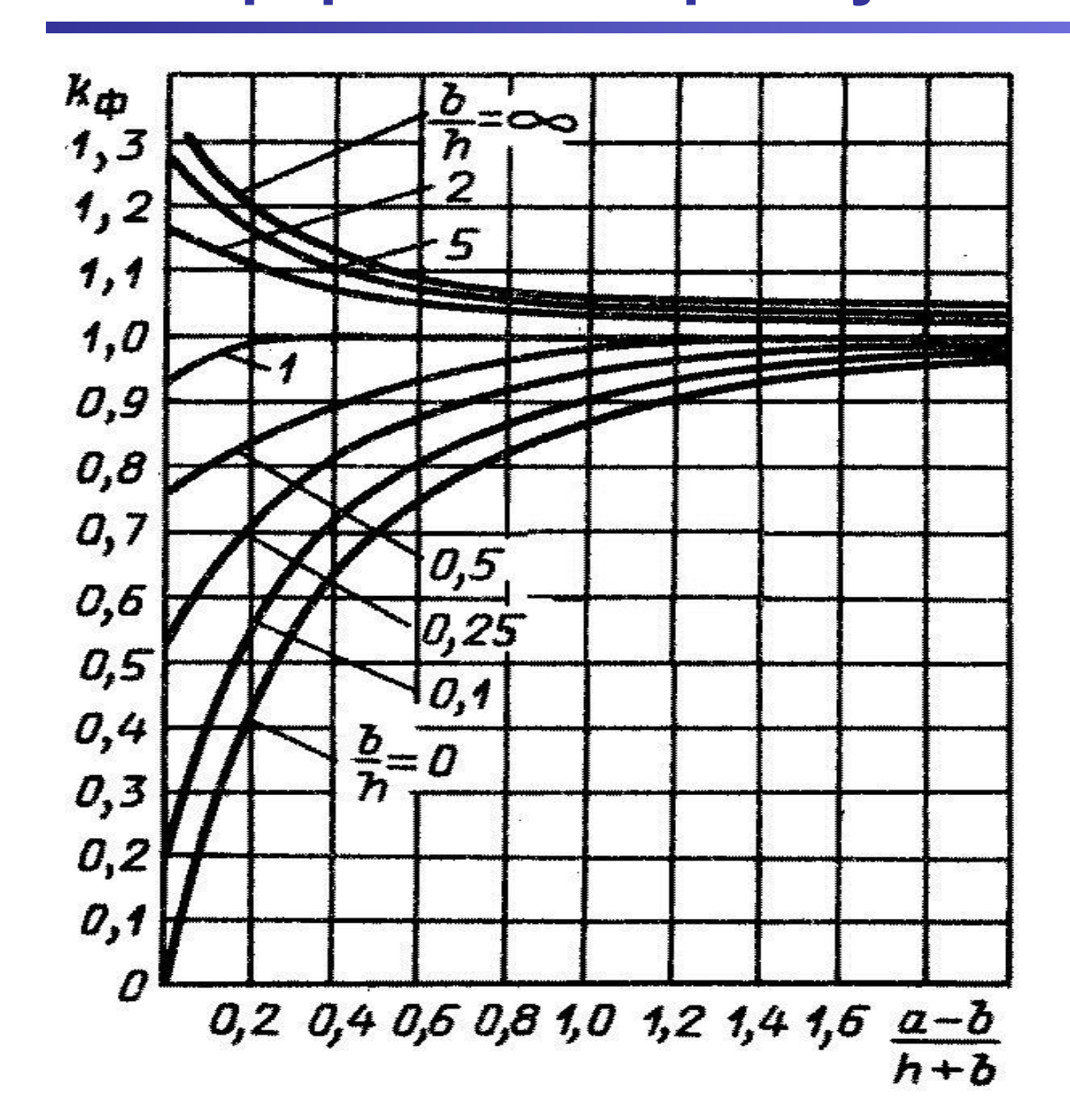
## Взаимодействие двух цилиндрических проводников с током

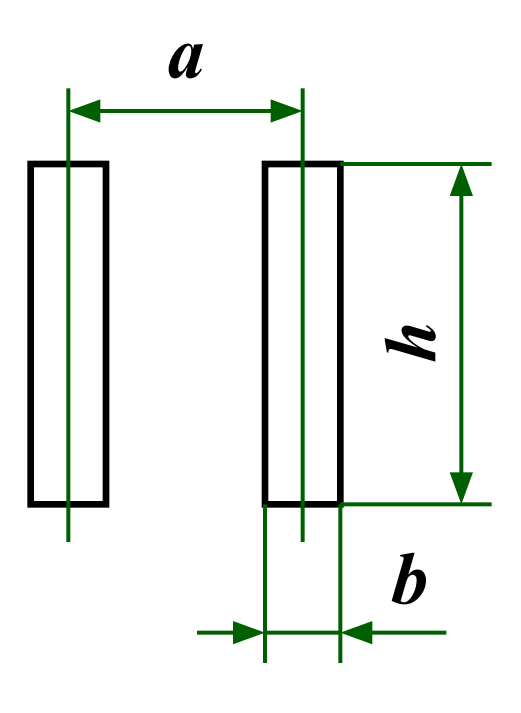


#### Для шин произвольного сечения:

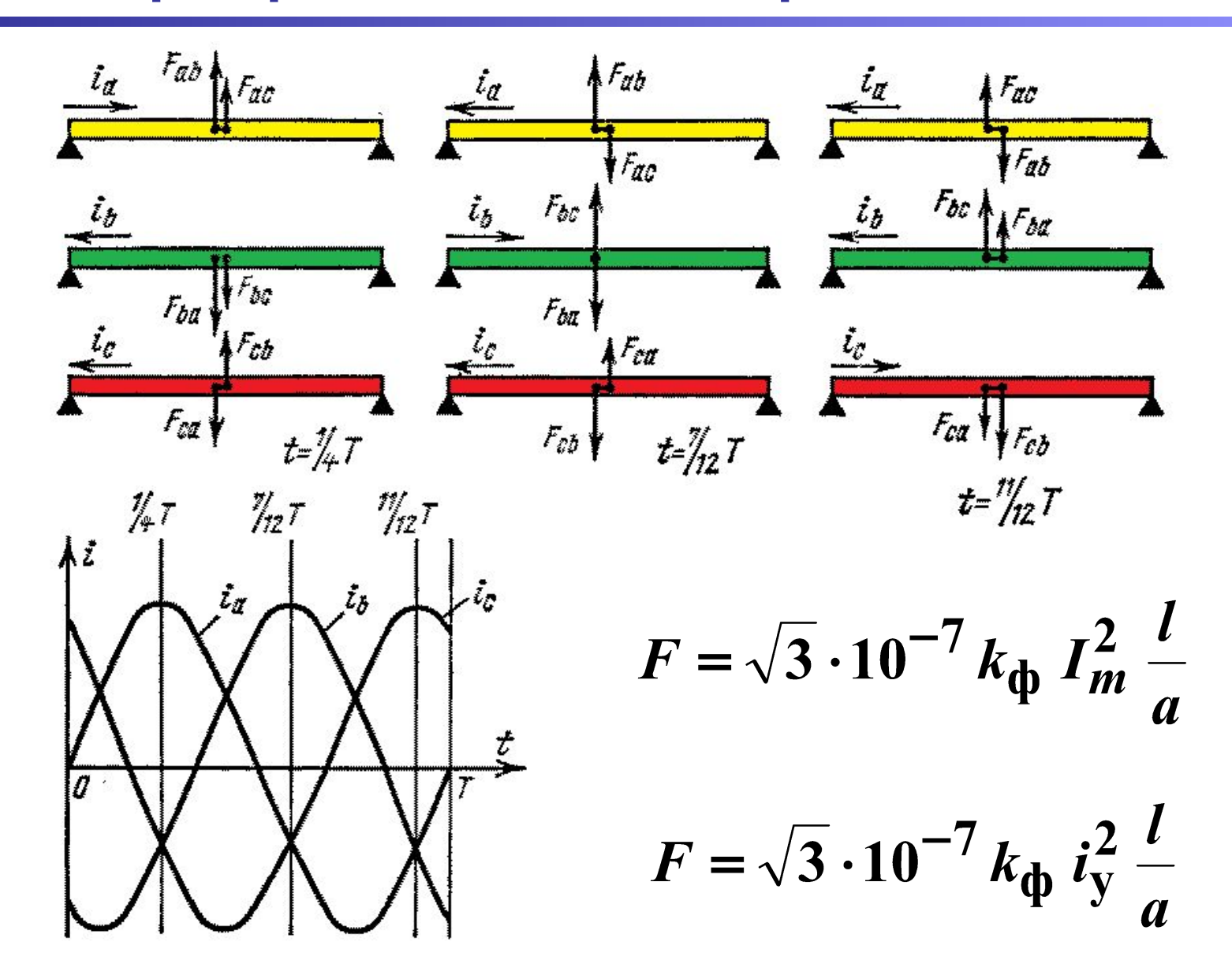
$$F = 2 \cdot 10^{-7} k_{\Phi} i_1 i_2 \frac{l}{a}$$

### **Кривые для определения коэффициента** формы шин прямоугольного сечения





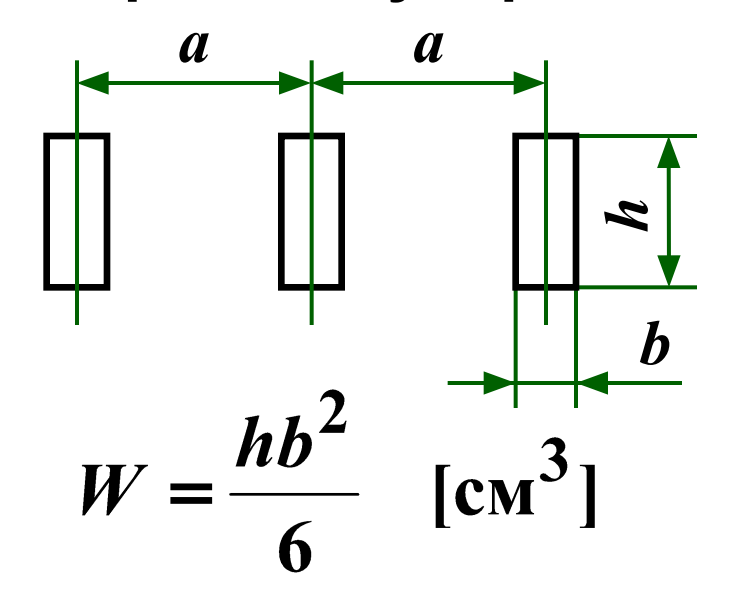
## Электродинамическое взаимодействие в трехфазной системе проводников



## Определение механического напряжения в материале шины

Изгибающий момент: 
$$M = \frac{Fl^2}{10}$$
 [H·м]

#### Момент сопротивления шины относительно оси, перпендикулярной действию усилия:



$$W = \frac{bh^2}{6} \quad [\text{cm}^3]$$

Механическое напряжение:  $\sigma = M/W$  [МПа]

### Допустимое механическое напряжение в материале шин

| Материал             | Марка  | σ <sub>доп</sub> , МПа |
|----------------------|--------|------------------------|
| Алюминий             | AO, A1 | 82,3                   |
|                      | АДО    | 41,2 ÷ 48              |
| Алюминиевый<br>сплав | АД31Т  | 89,2                   |
|                      | АД31Т1 | 137,2                  |
| Медь                 | МГМ    | 171,5 ÷ 178,4          |
|                      | МГТ    | 171,5 ÷ 205,8          |
| Сталь                | Ст. 3  | 260,7 ÷ 322,4          |

Условие динамической стойкости:  $\sigma \le \sigma_{\text{доп}}$ 

#### **Условие отсутствия механического** резонанса

Собственная частота колебаний алюминиевых шин:

$$f_0 = \frac{173,2}{l^2} \sqrt{\frac{J}{q}} \quad [\Gamma_{\text{II}}]$$

Собственная частота колебаний медных шин:

$$f_0 = \frac{125,2}{l^2} \sqrt{\frac{J}{q}} \quad [\Gamma_{\text{II}}]$$

l – длина пролета между изоляторами;

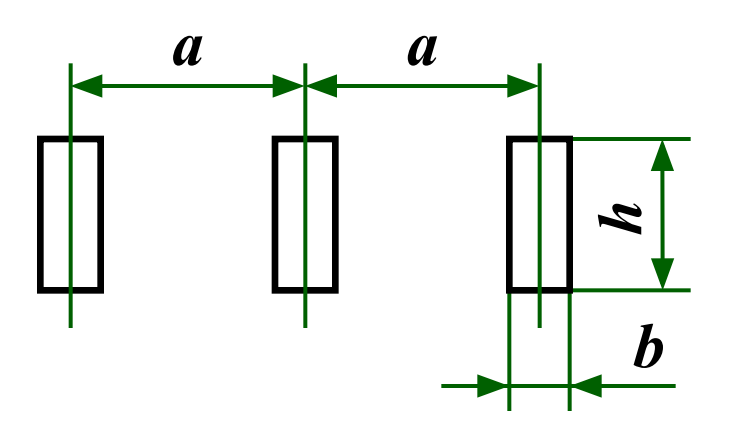
J – момент инерции поперечного сечения шины относительно оси, перпендикулярной направлению силы, см $^4$ ;

q – поперечное сечение шины, см $^2$ .

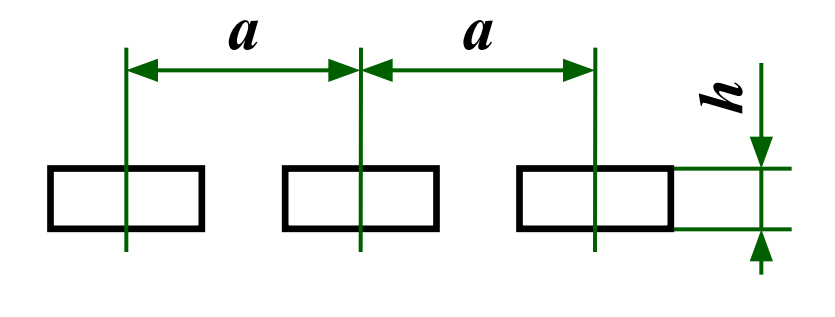
Резонанс отсутствует в случае:

$$f_0 > 200 \, \Gamma$$
ц или  $f_0 < 30 \, \Gamma$ ц

#### Моменты инерции поперечного сечения шины



$$J = \frac{hb^3}{12}$$



$$J = \frac{bh^3}{12}$$

## 7.3 Термическое действие токов на проводники

Энергия, выделяемая в виде тепла

$$dQ$$
 $||$ 
 $||$ 
 $||^2 r dt$ 

Энергия, расходуемая на нагрев проводника

$$dQ_1$$
 $C d\theta$ 

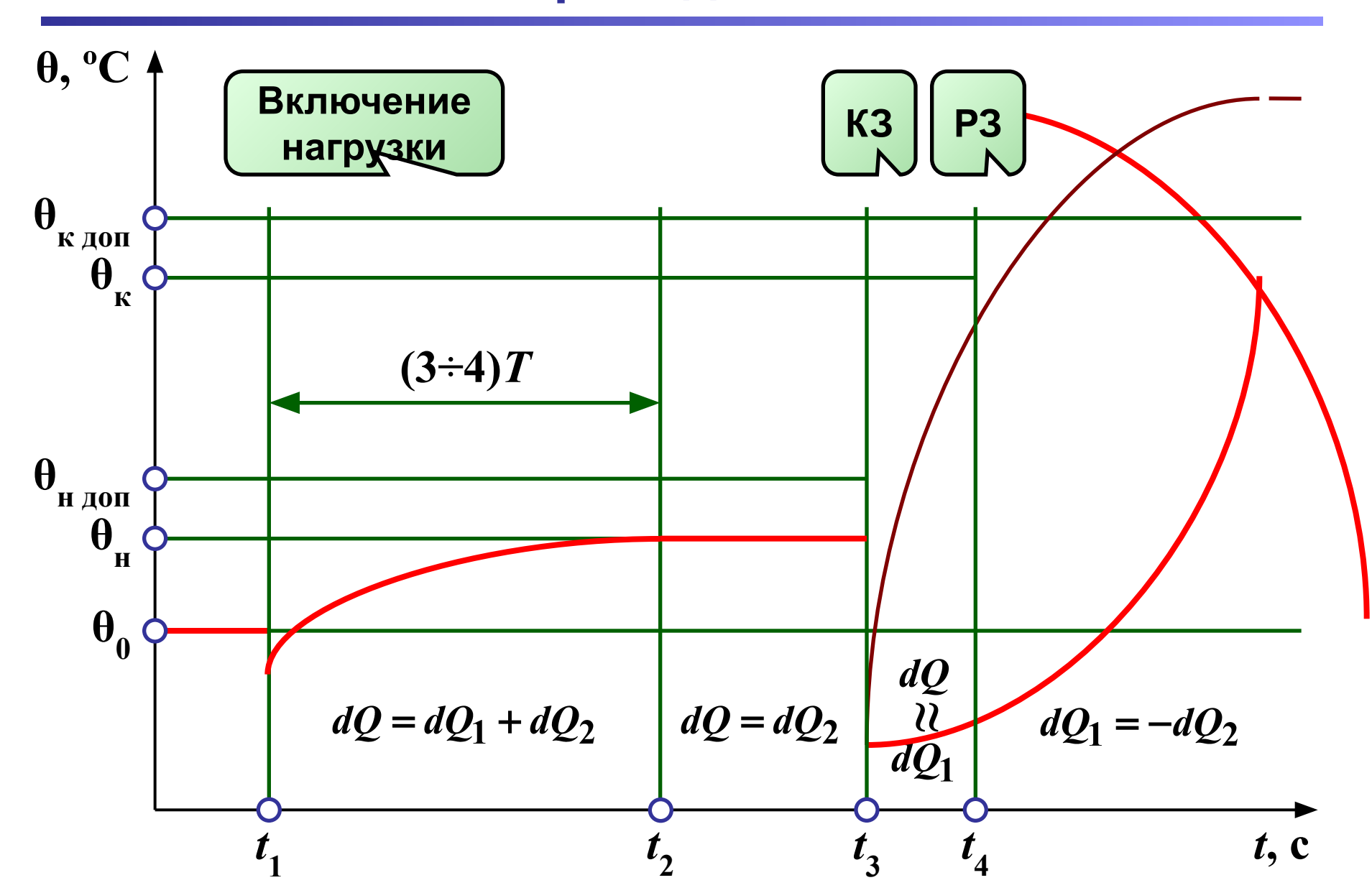
Энергия, отводимая в окружающую среду

$$dQ_2$$

$$\parallel$$

$$kF(\theta-\theta_0)dt$$

## 7.3 Термическое действие токов на проводники



#### Нагрев проводников в нормальном режиме

$$\theta_{\rm H} = \theta_0 + (\theta_{
m H\, ДO\Pi} - \theta_{0
m T}) rac{I^2}{I_{
m ДO\Pi}^2}$$

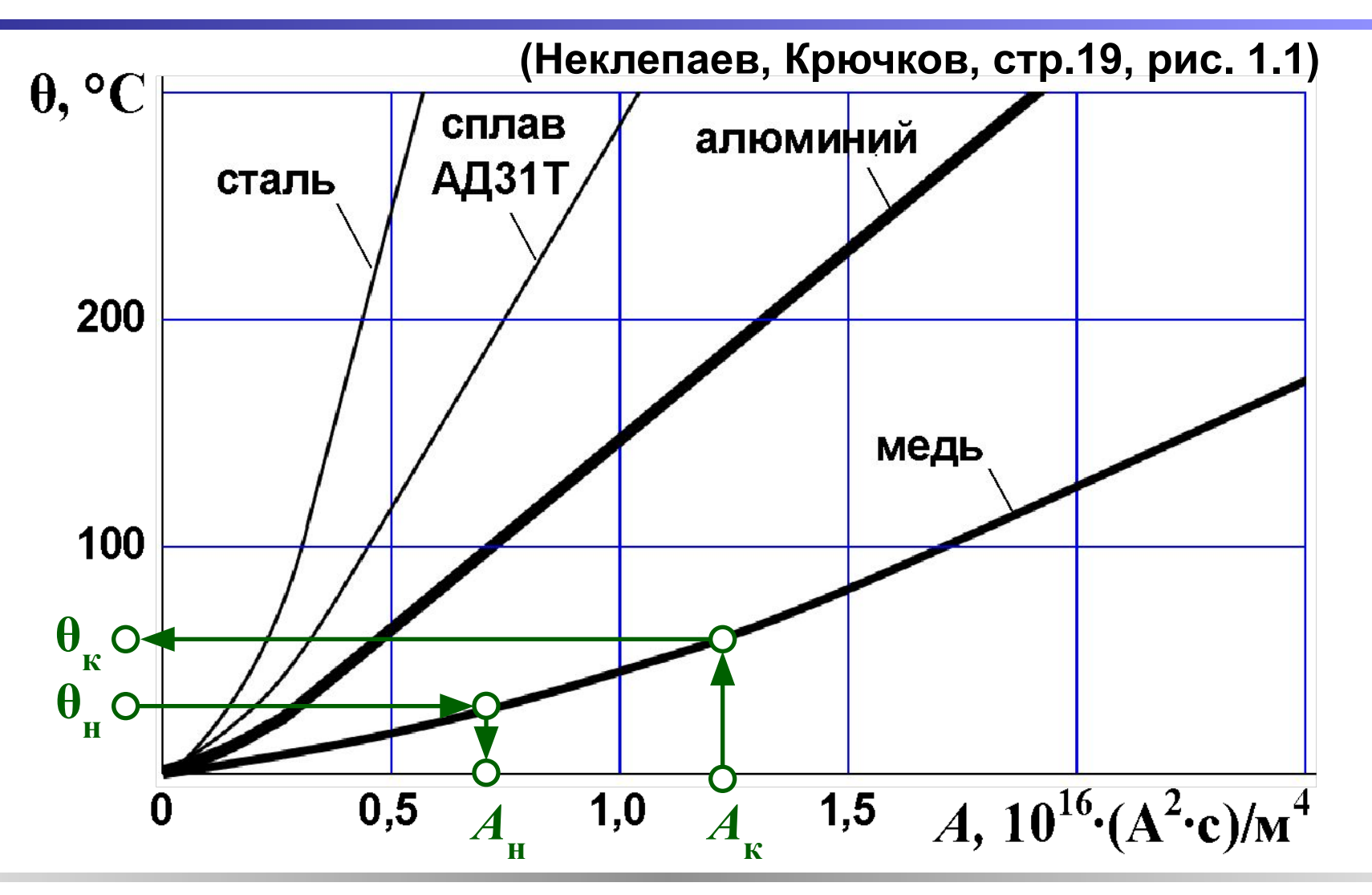
- $\theta_0$  температура окружающей среды;
- $\theta_{_{\rm H~ДОП}}$  допустимая температура нагрева в длительном режиме;
- $I_{_{
  m ДОП}}$  допустимое значение длительного тока для проводника (табличное значение);
- $\theta_{0 \mathrm{T}}$  табличное значение температуры окружающей среды (25 °C).

#### Допустимые температуры для проводников в нормальном режиме

| Проводники                     |          | Допустимая<br>температура, °С |
|--------------------------------|----------|-------------------------------|
| Неизолированные провода и шины |          | 70                            |
| Кабели с бумажной<br>изоляцией | ≤3 кВ    | 80                            |
|                                | 6 кВ     | 65                            |
|                                | 10 кВ    | 60                            |
|                                | 20÷35 кВ | 50                            |

Условие термической стойкости:  $\theta_{\rm H} \le \theta_{\rm H, ДОП}$ 

#### Нагрев проводников при коротком замыкании



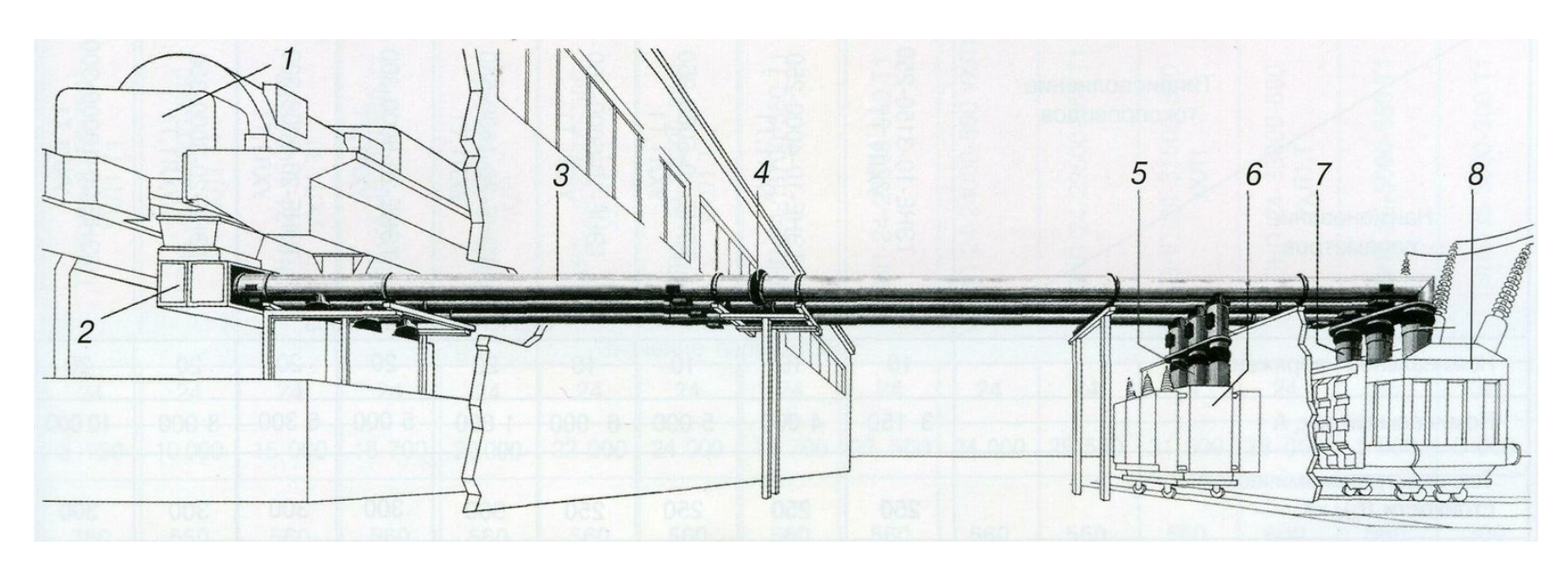
$$A_{\rm K} = A_{\rm H} + B_{\rm K}/S^2 \qquad B_{\rm K} = I_{\rm H0}^2 \left(t_{\rm OTK} + T_{\rm a}\right)$$

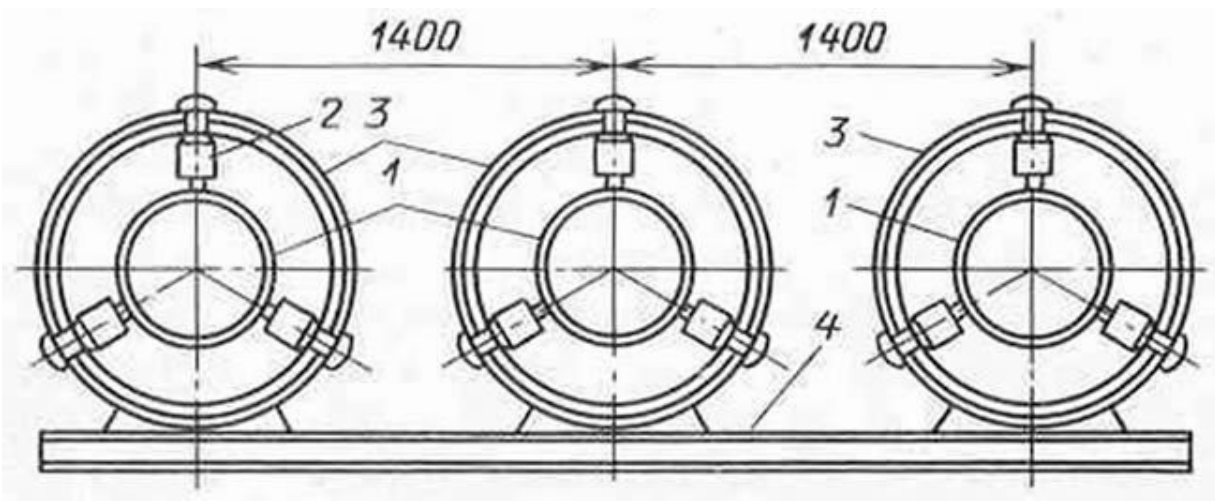
## **Допустимые температуры нагрева** проводников при коротком замыкании

| Проводники   | Допустимая<br>температура, °С |
|--|-------------------------------|
| Неизолированные медные проводники  | 300                           |
| Неизолированные алюминиевые проводники   | 200                           |
| Кабели с бумажной пропитанной изоляцией до 10 кВ с медными и алюминиевыми жилами | 200                           |
| Кабели 20÷220 кВ   | 125                           |

Условие термической стойкости:  $\theta_{\kappa} \le \theta_{\kappa \, \mu o \pi}$ 

# Комплектные пофазно-экранированные токопроводы





# Комплектные пофазно-экранированные токопроводы

